

УДК 531.53

© 2001 г. А.П. МАРКЕЕВ, С.В. МЕДВЕДЕВ, Д.А. СУХОРУЧКИН

## ОБ УСТОЙЧИВОСТИ ДВИЖЕНИЯ МАТЕРИАЛЬНОЙ ТОЧКИ, ПОДВЕШЕННОЙ НА УПРУГОЙ НИТИ

Исследуется плоское движение материальной точки, подвешенной на нити. Движение происходит в однородном поле тяжести. Нить предполагается невесомой, абсолютно гибкой, растяжимой и упругой. Решена задача об орбитальной устойчивости вертикальных периодических колебаний точки произвольной амплитуды.

**1. Постановка задачи. Уравнения движения.** Пусть материальная точка  $P$  закреплена на одном из концов невесомой абсолютно гибкой нити, другой конец которой прикреплен к неподвижной точке  $O$  (фиг. 1). Нить предполагается растяжимой и упругой, сила упругости подчиняется закону Гука. Движение происходит в однородном поле тяжести в фиксированной вертикальной плоскости  $Oxy$  (на фиг. 1 ось  $Ox$  направлена вертикально вниз).

Пусть  $l_0$  – длина нерастянутой нити,  $k$  – ее жесткость,  $m$  – масса точки  $P$ ,  $g$  – ускорение свободного падения. Положение точки задается координатами  $x, y$ .

Если  $r = \sqrt{x^2 + y^2} \leq l_0$ , то нить не напряжена и, следовательно, не оказывает влияния на движение точки  $P$ . Точка движется только под действием силы тяжести по параболе, лежащей в плоскости  $Oxy$ . Если же  $r > l_0$ , то нить напряжена, и точка  $P$  движется под влиянием силы тяжести и силы упругости нити.

Для функции Гамильтона имеем следующее выражение:

$$H = \frac{1}{2m}(p_x^2 + p_y^2) + \Pi \quad (1.1)$$

$$\Pi = \begin{cases} -mgx, & \text{если } \sqrt{x^2 + y^2} \leq l_0 \\ -mgx + \frac{1}{2}k(\sqrt{x^2 + y^2} - l_0)^2, & \text{если } \sqrt{x^2 + y^2} > l_0 \end{cases} \quad (1.2)$$

Здесь  $p_x = m\dot{x}$ ,  $p_y = m\dot{y}$ ; точкой обозначается дифференцирование по времени  $t$ .

Точка  $P$  может находиться в положении равновесия на оси  $Ox$ . В этом положении нить напряжена и ее длина равняется  $l$ , причем

$$l = l_0 + mg/k = l_0/(1 - \mu^2), \quad \mu = \sqrt{mg/(kl)} \quad (0 \leq \mu < 1) \quad (1.3)$$

Существует также такое, отличное от равновесия, периодическое движение, когда точка  $P$  все время остается на вертикали  $Ox$ . Пусть в этом движении точка подскокивает при ослабленной нити над положением  $x = l_0$  на высоту  $h$ . Считаем, что  $h < l_0$ , т.е. точка  $P$  не соударяется с точкой подвеса  $O$ . В дальнейшем высоту подскока точки над ее положением, отвечающим нерастянутой нити, будем характеризовать

при помощи безразмерного параметра  $v$ , определяемого формулой

$$v = h/l_0 \quad (0 \leq v < 1) \quad (1.4)$$

Упомянутое периодическое движение материальной точки вдоль вертикали принимаем за невозмущенное. Цель данной работы состоит в исследовании его орбитальной устойчивости.

Отметим, что устойчивость вертикального периодического движения материальной точки, подвешенной на нерастяжимой нити или на невесомой пружине, исследована ранее [1, 2].

Опишем невозмущенное движение более подробно. На нем  $y \equiv 0$ , а движение вдоль вертикальной оси  $Ox$  описывается каноническими уравнениями с гамильтонианом вида

$$H^{(0)} = \frac{1}{2m} p_x^2 + \Pi^{(0)} \quad (1.5)$$

$$\Pi^{(0)} = \begin{cases} -mgx, & \text{если } 0 < x \leq l_0 \\ -mgx + \frac{1}{2}k(x-l_0)^2, & \text{если } x > l_0 \end{cases} \quad (1.6)$$

На невозмущенном движении имеет место интеграл энергии  $H^{(0)} = -mg(l_0 - h)$ . Отсюда и из (1.5), (1.6) можно получить уравнение невозмущенной фазовой траектории в плоскости  $x, p_x$ . При  $x \leq l_0$  эта траектория представляет собой участок параболы

$$x = l_0 - h + p_x^2 / (2m^2 g) \quad (1.7)$$

а при  $x > l_0$  — участок эллипса

$$(x-l)^2 / a^2 + p_x^2 / b^2 = 1 \quad (1.8)$$

$$a = \mu \sqrt{\mu^2 + 2v(1-\mu^2)}l, \quad b = \sqrt{\mu^2 + 2v(1-\mu^2)}m\sqrt{gl}$$

Невозмущенная фазовая траектория показана на фиг. 2, где дуга ABC — участок параболы (1.7), а дуга CDA — участок эллипса (1.8). Дуга ABC соответствует движению точки  $P$  вдоль вертикали при ослабленной нити: вверх от  $x = l_0$  до  $x = l_0 - h$  и обратно вниз от  $x = l_0 - h$  до  $x = l_0$ ; время движения  $t_1$  вычисляется по формуле

$$t_1 = 2\sqrt{2h/g} \quad (1.9)$$

Дуга CDA отвечает вертикальному движению точки  $P$  при напряженной нити: вниз от  $x = l_0$  до  $x = l + a$  и обратно вверх от  $x = l + a$  до  $x = l_0$ ; для времени движения  $t_2$  имеем выражение

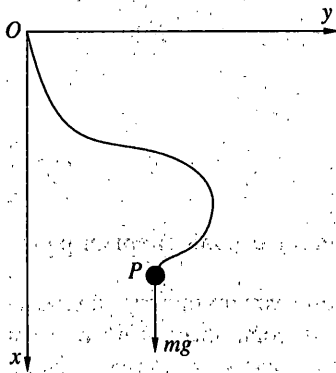
$$t_2 = \frac{\pi}{\sigma} + \frac{2}{\sigma} \operatorname{arctg} \frac{\mu}{\sqrt{2v(1-\mu^2)}}, \quad \sigma = \sqrt{\frac{k}{m}} \quad (1.10)$$

Период невозмущенного движения равен  $t_1 + t_2$ .

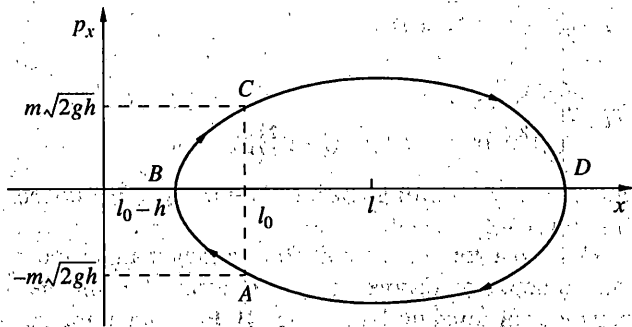
В гамильтониане (1.1) перейдем к безразмерным координатам и импульсам  $Q_i, P_i$  ( $i = 1, 2$ ) по формулам

$$x = lQ_1, \quad y = lQ_2, \quad p_x = ml\sigma P_1, \quad p_y = ml\sigma P_2 \quad (1.11)$$

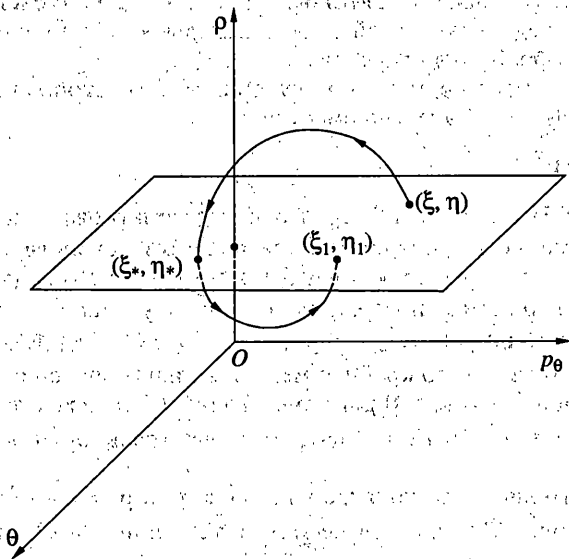
Эта замена переменных является канонической с валентностью, равной  $1/(m^2\sigma)$  [3]. Если еще вместо  $t$  ввести безразмерное время  $\tau = \sigma t$ , то новый гамильтониан будет равен умноженной на коэффициент  $1/(m^2\sigma^2)$  функции (1.1), в которой сделана замена



Фиг. 1



Фиг. 2



Фиг. 3

(1.11). В результате получим

$$H = \frac{1}{2}(P_1^2 + P_2^2) + \Pi \quad (1.12)$$

$$\Pi = \begin{cases} -\mu^2 Q_1, & \text{если } \sqrt{Q_1^2 + Q_2^2} \leq 1 - \mu^2 \\ -\mu^2 Q_1 + 1/2[\sqrt{Q_1^2 + Q_2^2} - (1 - \mu^2)]^2, & \text{если } \sqrt{Q_1^2 + Q_2^2} > 1 - \mu^2 \end{cases} \quad (1.13)$$

Для дальнейшего удобно перейти к полярным координатам. С этой целью сделаем замену переменных по формулам

$$Q_1 = \rho \cos \theta, \quad Q_2 = \rho \sin \theta \quad (1.14)$$

$$P_1 = p_\rho \cos \theta - \frac{\sin \theta}{\rho} p_\theta, \quad P_2 = p_\rho \sin \theta + \frac{\cos \theta}{\rho} p_\theta$$

Эти формулы задают унивалентное каноническое преобразование  $Q_1, Q_2, P_1, P_2 \rightarrow \theta$ ,

$\rho, p_\theta, p_\rho$ . Новая функция Гамильтона имеет вид

$$H = \frac{1}{2} \left( p_\rho^2 + \frac{p_\theta^2}{\rho^2} \right) + \Pi \quad (1.15)$$

$$\Pi = \begin{cases} -\mu^2 \rho \cos \theta, & \text{если } \rho \leq 1 - \mu^2 \\ -\mu^2 \rho \cos \theta + 1/2[\rho - (1 - \mu^2)]^2, & \text{если } \rho > 1 - \mu^2 \end{cases} \quad (1.16)$$

На невозмущенном движении  $\theta \equiv 0, p_\theta \equiv 0$ , а постоянная интеграла энергии равна  $\mu^2(1 - \mu^2)(v - 1)$ .

**2. О методе исследования.** При исследовании орбитальной устойчивости невозмущенного периодического движения точки  $P$  вдоль вертикали воспользуемся методом поверхностей сечения Пуанкаре [4]. Возмущенное движение будем рассматривать на том же уровне энергии, что и само невозмущенное движение. Метод поверхностей сечения Пуанкаре позволяет свести задачу об изоэнергетической орбитальной устойчивости периодического движения автономной гамильтоновой системы с двумя степенями свободы к исследованию устойчивости неподвижной точки некоторого сохраняющего площадь отображения плоскости в себя.

Опишем в общих чертах процедуру получения такого отображения в изучаемой конкретной задаче. Интеграл энергии имеет вид

$$H(\theta, \rho, p_\theta, p_\rho) = \mu^2(1 - \mu^2)(v - 1) \quad (2.1)$$

где  $H$  — функция (1.15). Величины  $\theta, p_\theta, \rho$  будем рассматривать как прямоугольные координаты в трехмерном пространстве, задаваемом равенством (2.1). Невозмущенному движению отвечают точки оси  $Op$  ( $\rho > 0$ ). Плоскость  $\rho = 1 - \mu^2$  в этом пространстве (фиг. 3) примем за поверхность сечения Пуанкаре.

Пусть при  $\tau = 0$  имеем  $\rho = 1 - \mu^2, \theta = \xi, p_\theta = \eta$  ( $|\xi| \ll 1, |\eta| \ll 1$ ), а  $p_\rho > 0$  (точка  $P$  падает вниз). Тогда при  $\tau > 0$  (по крайней мере для малых значений величины  $\tau$ ) нить напряжена и до момента  $\tau = \tau_* > 0$  движение точки  $P$  происходит при напряженной нити. Этому этапу движения отвечает на фиг. 3 дуга траектории, лежащая над плоскостью  $\rho = 1 - \mu^2$ .

При  $\tau = \tau_*$  траектория снова попадает на плоскость  $\rho = 1 - \mu^2$ , при этом  $\theta = \xi_*, p_\theta = \eta_*$ , а  $p_\rho < 0$  (точка  $P$  движется вверх). Затем, при  $\tau > \tau_*$ , движение точки  $P$  происходит при ослабленной нити. Но только до момента  $\tau = \tau_1$ , где  $\tau_1$  — наименьшее значение  $\tau$ , большее  $\tau_*$ , когда траектория, отвечающая свободному полету точки  $P$  при ослабленной нити, вновь попадает на плоскость  $\rho = 1 - \mu^2$ . Свободному полету отвечает дуга траектории, лежащая на фиг. 3 под плоскостью  $\rho = 1 - \mu^2$ . При  $\tau = \tau_1$  имеем  $\theta = \xi_1, p_\theta = \eta_1$ .

Величины  $\xi_1, \eta_1$  будут аналитическими функциями от  $\xi, \eta$ . Эти функции задают искомое отображение плоскости  $\rho = 1 - \mu^2$  в себя. Точка  $\xi = \eta = 0$  этой плоскости будет неподвижной точкой отображения, она соответствует исследуемому невозмущенному периодическому движению точки  $P$  вдоль вертикали. Задачи об орбитальной устойчивости этого движения эквивалентна задаче об устойчивости неподвижной точки отображения. Функции  $\xi_1, \eta_1$ , задающие отображение, будут в дальнейшем находиться в виде рядов по степеням  $\xi, \eta$ . Коэффициенты рядов зависят от двух безразмерных параметров  $\mu, v$ , определяемых равенствами (1.3) и (1.4).

Упомянутое отображение  $\xi, \eta \rightarrow \xi_1, \eta_1$  сохраняет площадь, так как на изоэнергетическом уровне (2.1) уравнения движения точки  $P$  можно записать в виде уравнений Уиттекера [3]. Эти уравнения имеют форму уравнений Гамильтона с независимой переменной  $\rho$ ; роль гамильтониана играет функция  $-p_\rho(\theta, p_\theta, \rho; \mu, v)$ , где  $p_\rho$  — корень уравнения (2.1). Свойство отображения сохранять площадь следует из теоремы Лиувилля о сохранении фазового объема.

Отображение  $\xi, \eta \rightarrow \xi_1, \eta_1$  будет ниже получено в виде композиции двух отображений:  $\xi, \eta \rightarrow \xi_*, \eta_*$  и  $\xi_*, \eta_* \rightarrow \xi_1, \eta_1$ . Первое отображение будет получено путем численного интегрирования дифференциальных уравнений движения, определяемых функцией Гамильтона (1.15); при этом будет учитываться интеграл (2.1), величина  $\Pi$  – из второй строки формулы (1.16). Построение второго отображения не требует численного интегрирования дифференциальных уравнений движения, так как при ослабленной нити движение точки  $P$  известно: она движется по параболе в однородном поле тяжести.

После получения отображения  $\xi, \eta \rightarrow \xi_1, \eta_1$  вопрос об устойчивости неподвижной точки  $\xi = \eta = 0$  можно решить при помощи результатов статьи [5], где условия устойчивости и неустойчивости выписаны в виде неравенств, которым должны удовлетворять коэффициенты разложений функций  $\xi_1, \eta_1$  в ряды по степеням  $\xi, \eta$ .

**3. Алгоритм построения отображения  $\xi, \eta \rightarrow \xi_*, \eta_*$ .** 3.1. Дифференциальные уравнения для коэффициентов разложения решений уравнений движения в ряды. Рассмотрим этап движения точки  $P$ , происходящий при напряженной нити. Ему отвечает гамильтониан (1.15), в котором функция  $\Pi$  задается второй строкой формулы (1.16). При малых  $|\theta|, |p_\theta|$  уравнения движения имеют следующий вид:

$$\frac{d\theta}{d\tau} = \frac{1}{\rho^2} p_\theta, \quad \frac{dp_\theta}{d\tau} = -\mu^2 \rho \theta + \frac{1}{6} \mu^2 \rho \theta^3 + O_4 \quad (3.1)$$

$$\frac{dp}{d\tau} = p_\rho, \quad \frac{dp_\rho}{d\tau} = 1 - \rho - \frac{1}{2} \mu^2 \theta^2 + \frac{1}{\rho^3} p_\theta^2 + O_4$$

Здесь и в дальнейшем символом  $O_4$  обозначается совокупность слагаемых не ниже четвертой степени относительно величин  $\theta, p_\theta$ .

Принимая во внимание интеграл (2.1), получаем в соответствии с алгоритмом п. 2, следующие начальные, при  $\tau = 0$ , условия для системы (3.1):

$$\theta = \xi, \quad p_\theta = \eta \quad (3.2)$$

$$\rho = 1 - \mu^2, \quad p_\rho = \alpha_{00} - \alpha_{20} \xi^2 - \alpha_{02} \eta^2 + O_4$$

$$\alpha_{00} = \mu \sqrt{2\nu(1 - \mu^2)}, \quad \alpha_{20} = \mu / 2 \sqrt{(1 - \mu^2) / (2\nu)} \quad (3.3)$$

$$\alpha_{02} = 1 / [2\mu(1 - \mu^2)^2 \sqrt{2\nu(1 - \mu^2)}]$$

Рассмотрим вспомогательную систему, получающуюся из третьего и четвертого уравнений системы (3.1), если в них положить  $\theta \equiv 0, p_\theta \equiv 0$  и ввести обозначения  $\rho = \rho^0, p_\rho = p_\rho^0$ :

$$d\rho^0 / d\tau = p_\rho^0, \quad dp_\rho^0 / d\tau = 1 - \rho^0$$

Решение этой системы при начальных условиях из (3.2) будет таким:

$$\rho^0 = 1 + C_1 \sin \tau + C_2 \cos \tau, \quad p_\rho^0 = C_1 \cos \tau - C_2 \sin \tau \quad (3.4)$$

$$C_1 = \alpha_{00} - \alpha_{20} \xi^2 - \alpha_{02} \eta^2 + O_4, \quad C_2 = -\mu^2$$

Выражение для  $\rho^0$  из (3.4) для дальнейших вычислений удобнее переписать в виде  $\rho^0 = R_0(\tau) + R_2(\tau) + O_4$ , где

$$R_0(\tau) = 1 + \mu \sqrt{2\nu(1 - \mu^2)} \sin \tau - \mu^2 \cos \tau, \quad R_2(\tau) = f_{20}(\tau) \xi^2 + f_{02}(\tau) \eta^2 \quad (3.5)$$

$$f_{20}(\tau) = -\alpha_{20} \sin \tau, \quad f_{02}(\tau) = -\alpha_{02} \sin \tau$$

Решение системы (3.1) с начальными условиями (3.2) представим в виде следующих рядов по степеням  $\xi$ ,  $\eta$ :

$$\begin{aligned}\theta &= q_{10}(\tau)\xi + q_{01}(\tau)\eta + q_{30}(\tau)\xi^3 + q_{21}(\tau)\xi^2\eta + q_{12}(\tau)\xi\eta^2 + q_{03}(\tau)\eta^3 + O_4 \\ p_\theta &= r_{10}(\tau)\xi + r_{01}(\tau)\eta + r_{30}(\tau)\xi^3 + r_{21}(\tau)\xi^2\eta + r_{12}(\tau)\xi\eta^2 + r_{03}(\tau)\eta^3 + O_4 \\ \rho &= R_0(\tau) + R_2(\tau) + a_{20}(\tau)\xi^2 + a_{11}(\tau)\xi\eta + a_{02}(\tau)\eta^2 + O_4 \\ p_\rho &= p_\rho^0(\tau) + c_{20}(\tau)\xi^2 + c_{11}(\tau)\xi\eta + c_{02}(\tau)\eta^2 + O_4\end{aligned}\quad (3.6)$$

Подставив разложения (3.6) в систему дифференциальных уравнений (3.1) и приравняв затем коэффициенты при одинаковых степенях  $\xi$ ,  $\eta$  в их левой и правой частях, получим следующую систему уравнений относительно восемнадцати неизвестных коэффициентов  $q_{i,j}$ ,  $r_{i,j}$ ,  $a_{i,j}$ ,  $c_{i,j}$  разложений (3.6):

$$\frac{dq_{10}}{d\tau} = \frac{1}{R_0^2} r_{10}, \quad \frac{dq_{01}}{d\tau} = \frac{1}{R_0^2} r_{01} \quad (3.7)$$

$$\frac{dr_{10}}{d\tau} = -\mu^2 R_0 q_{10}, \quad \frac{dr_{01}}{d\tau} = -\mu^2 R_0 q_{01}$$

$$\frac{da_{20}}{d\tau} = c_{20}, \quad \frac{da_{11}}{d\tau} = c_{11}, \quad \frac{da_{02}}{d\tau} = c_{02}$$

$$\frac{dc_{20}}{d\tau} = -a_{20} - \frac{1}{2}\mu^2 q_{10}^2 + \frac{1}{R_0^3} r_{10}^2 \quad (3.8)$$

$$\frac{dc_{11}}{d\tau} = -a_{11} - \mu^2 q_{10}q_{01} + \frac{2}{R_0^3} r_{10}r_{01}$$

$$\frac{dc_{02}}{d\tau} = -a_{02} - \frac{1}{2}\mu^2 q_{01}^2 + \frac{1}{R_0^3} r_{01}^2$$

$$\frac{dq_{30}}{d\tau} = \frac{1}{R_0^2} r_{30} - \frac{2}{R_0^3} (f_{20} + a_{20})r_{10}$$

$$\frac{dq_{21}}{d\tau} = \frac{1}{R_0^2} r_{21} - \frac{2}{R_0^3} (f_{20} + a_{20})r_{01} - \frac{2}{R_0^3} a_{11}r_{10} \quad (3.9)$$

$$\frac{dq_{12}}{d\tau} = \frac{1}{R_0^2} r_{12} - \frac{2}{R_0^3} a_{11}r_{01} - \frac{2}{R_0^3} (f_{02} + a_{02})r_{10}$$

$$\frac{dq_{03}}{d\tau} = \frac{1}{R_0^2} r_{03} - \frac{2}{R_0^3} (f_{02} + a_{02})r_{01}$$

$$dr_{30} / d\tau = -\mu^2 R_0 q_{30} - \mu^2 (f_{20} + a_{20})q_{10} + \frac{1}{6}\mu^2 R_0 q_{10}^3$$

$$dr_{21} / d\tau = -\mu^2 R_0 q_{21} - \mu^2 (f_{20} + a_{20})q_{01} - \mu^2 a_{11}q_{10} + \frac{1}{2}\mu^2 R_0 q_{10}^2 q_{01}$$

$$dr_{12} / d\tau = -\mu^2 R_0 q_{12} - \mu^2 a_{11}q_{01} - \mu^2 (f_{02} + a_{02})q_{10} + \frac{1}{2}\mu^2 R_0 q_{10} q_{01}^2 \quad (3.10)$$

$$dr_{03} / d\tau = -\mu^2 R_0 q_{03} - \mu^2 (f_{02} + a_{02})q_{01} + \frac{1}{6}\mu^2 R_0 q_{01}^3$$

Начальные условия находятся из равенств (3.2) – (3.6). Получаем, что  $q_{10}(0) = r_{01}(0) = 1$ , все остальные шестнадцать величин из  $q_{i,j}$ ,  $r_{i,j}$ ,  $a_{i,j}$ ,  $c_{i,j}$  при  $\tau = 0$  равны нулю.

3.2. *Получение первых членов разложения величины  $\tau_*$  в ряд по степеням  $\xi$ ,  $\eta$ .* Найдем время  $\tau_*$ , когда траектория впервые, после начального момента  $\tau = 0$ , снова

попадает на плоскость  $\rho = 1 - \mu^2$  (см. п. 2 и фиг. 3). Третье из разложений (3.6) дает такое уравнение для  $\tau_*$ :

$$R_0(\tau_*) + R_2(\tau_*) + a_{20}(\tau_*)\xi^2 + a_{11}(\tau_*)\xi\eta + a_{02}(\tau_*)\eta^2 + O_4 = 1 - \mu^2 \quad (3.11)$$

Величину  $\tau_*$  ищем в виде ряда по степеням  $\xi, \eta$ :

$$\tau_* = s + \tau_{20}\xi^2 + \tau_{11}\xi\eta + \tau_{02}\eta^2 + O_4 \quad (3.12)$$

где  $s = \sigma t_2$ , а  $t_2$  задается равенством (1.10). Следовательно

$$s = \pi + 2 \operatorname{arctg} \frac{\mu}{\sqrt{2\nu(1-\mu^2)}} \quad (3.13)$$

Подставив ряд (3.12) в уравнение (3.11), получим соотношение

$$R_0(s) + \left( \frac{dR_0}{d\tau} \right)_{\tau=s} (\tau_{20}\xi^2 + \tau_{11}\xi\eta + \tau_{02}\eta^2) + f_{20}(s)\xi^2 + f_{02}(s)\eta^2 + a_{20}(s)\xi^2 + a_{11}(s)\xi\eta + a_{02}(s)\eta^2 + O_4 = 1 - \mu^2 \quad (3.14)$$

Из (3.3), (3.5) и (3.13) следует, что

$$R_0(s) = 1 - \mu^2, \quad \left( \frac{dR_0}{d\tau} \right)_{\tau=s} = -\alpha_{00} \quad (3.15)$$

$$f_{20}(s) = \frac{\mu^2(1-\mu^2)}{\mu^2 + 2\nu(1-\mu^2)}, \quad f_{02}(s) = \frac{1}{(1-\mu^2)^2[\mu^2 + 2\nu(1-\mu^2)]} \quad (3.16)$$

Из (3.14) и (3.15) находим выражения для величин  $\tau_{i,j}$ :

$$\tau_{20} = \frac{f_{20}(s) + a_{20}(s)}{\alpha_{00}}, \quad \tau_{11} = \frac{a_{11}(s)}{\alpha_{00}}, \quad \tau_{02} = \frac{f_{02}(s) + a_{02}(s)}{\alpha_{00}} \quad (3.17)$$

Таким образом, для получения величины  $\tau_*$  в виде (3.12) достаточно проинтегрировать десять первых уравнений системы (3.7)–(3.10) с указанными в конце разд. 3.1 начальными условиями от  $\tau = 0$  до  $\tau = s$ , где величина  $s$  определена равенством (3.13). В результате интегрирования найдем  $a_{20}(s)$ ,  $a_{11}(s)$ ,  $a_{02}(s)$ , и коэффициенты  $\tau_{20}$ ,  $\tau_{11}$ ,  $\tau_{02}$  вычисляются затем по формулам (3.16), (3.17).

3.3. *Отображение  $\xi, \eta \rightarrow \xi_*, \eta_*$ .* Величину  $\tau_*$  из (3.12) подставим, вместо  $\tau$ , в правые части первого и второго из равенств (3.6). Разложив их затем в ряды по степеням  $\xi, \eta$ , получим, при учете уравнений (3.7) и первого из равенств (3.15), отображение  $\xi, \eta \rightarrow \xi_*, \eta_*$  в следующем виде:

$$\xi_* = m_{10}\xi + m_{01}\eta + m_{30}\xi^3 + m_{21}\xi^2\eta + m_{12}\xi\eta^2 + m_{03}\eta^3 + O_4 \quad (3.18)$$

$$\eta_* = n_{10}\xi + n_{01}\eta + n_{30}\xi^3 + n_{21}\xi^2\eta + n_{12}\xi\eta^2 + n_{03}\eta^3 + O_4$$

$$m_{10} = q_{10}, \quad m_{01} = q_{01}, \quad n_{10} = r_{10}, \quad n_{01} = r_{01} \quad (3.19)$$

$$m_{30} = q_{30} + (1-\mu^2)^{-2}\tau_{20}q_{10}, \quad m_{21} = q_{21} + (1-\mu^2)^{-2}(\tau_{11}r_{10} + \tau_{20}r_{01})$$

$$m_{12} = q_{12} + (1-\mu^2)^{-2}(\tau_{02}r_{10} + \tau_{11}r_{01}), \quad m_{03} = q_{03} + (1-\mu^2)^{-2}\tau_{02}r_{01}$$

$$n_{30} = r_{30} - \mu^2(1-\mu^2)\tau_{20}q_{10}, \quad n_{21} = r_{21} - \mu^2(1-\mu^2)(\tau_{11}q_{10} + \tau_{20}q_{01}) \quad (3.20)$$

$$n_{12} = r_{12} - \mu^2(1-\mu^2)(\tau_{02}q_{10} + \tau_{11}q_{01}), \quad n_{03} = r_{03} - \mu^2(1-\mu^2)\tau_{02}q_{01}$$

В формулах (3.19), (3.20)  $q_{ij} = q_{ij}(s)$ ,  $r_{ij} = r_{ij}(s)$ . Они получаются при помощи численного интегрирования всех восемнадцати уравнений системы (3.7)–(3.10) от  $\tau = 0$  до  $\tau = s$ .

**4. Получение отображения  $\xi_*$ ,  $\eta_* \rightarrow \xi_1$ ,  $\eta_1$ .** При  $\tau = \tau_*$  имеем

$$\theta = \xi_*, \quad p_\theta = \eta_* \quad (4.1)$$

$$\rho = 1 - \mu^2, \quad p_\rho = -\alpha_{00} + \alpha_{20}\xi_*^2 + \alpha_{02}\eta_*^2 + O_4,$$

где  $\alpha_{ij}$  определены равенствами (3.3), величина  $p_\rho$  получена из интеграла энергии (2.1).

При  $\tau > \tau_*$  (по крайней мере для достаточно малых значений величины  $\tau - \tau_*$ ) нить ослаблена и материальная точка  $P$  совершает свободный полет по параболе в плоскости  $Oxy$  (фиг. 1). Этот этап движения удобнее описывать не в полярных, а в декартовых координатах  $Q_i$ ,  $P_i$  ( $i = 1, 2$ ). Из уравнений движения с гамильтонианом (1.12), в котором функция  $\Pi$  задается первой строкой формулы (1.13), получаем:

$$Q_1(\tau) = \frac{1}{2}\mu^2(\tau - \tau_*)^2 + P_1(\tau_*)(\tau - \tau_*) + Q_1(\tau_*), \quad P_1(\tau) = \mu^2(\tau - \tau_*) + P_1(\tau_*) \quad (4.2)$$

$$Q_2(\tau) = P_2(\tau_*)(\tau - \tau_*) + Q_2(\tau_*), \quad P_2(\tau) = P_2(\tau_*)$$

Входящие сюда постоянные  $Q_i(\tau_*)$ ,  $P_i(\tau_*)$  ( $i = 1, 2$ ) могут быть найдены из (4.1) и (1.14) в виде рядов по степеням  $\xi_*$ ,  $\eta_*$ .

Момент  $\tau_1$  попадания траектории на плоскость  $\rho = 1 - \mu^2$  (см. фиг. 3) определяется затем из уравнения

$$Q_1^2(\tau_1) + P_1^2(\tau_1) = (1 - \mu^2)^2$$

Вычисления показывают, что

$$\tau_1 = \tau_* + r + \beta_{20}\xi_*^2 + \beta_{11}\xi_*\eta_* + \beta_{02}\eta_*^2 + O_4 \quad (4.3)$$

где  $r = \sigma t_1$ , а  $t_1$  задается формулой (1.9), т.е.  $r = 2/\mu\sqrt{2v(1-\mu^2)}$ ; величины  $\beta_{ij}$  вычисляются по формулам

$$\beta_{20} = -\frac{1}{\mu}(8v^2 - 2v + 1)\sqrt{\frac{1-\mu^2}{2v}}, \quad \beta_{11} = \frac{8v}{\mu^2(1-\mu^2)}, \quad \beta_{02} = -\frac{1+4v}{\mu^3(1-\mu^2)^2\sqrt{2v(1-\mu^2)}}$$

Подставив теперь  $\tau = \tau_1$  из (4.3) в формулы (4.2), найдем  $Q_i(\tau_1)$ ,  $P_i(\tau_1)$  ( $i = 1, 2$ ). Затем из равенств (1.14) можно получить искомые величины  $\xi_1 = \theta(\tau_1)$  и  $\eta_1 = p_\theta(\tau_1)$  в виде рядов по степеням  $\xi_*$ ,  $\eta_*$ . Опуская простые, но довольно громоздкие выкладки, выпишем окончательный результат:

$$\xi_1 = c_{10}\xi_* + c_{01}\eta_* + c_{30}\xi_*^3 + c_{21}\xi_*^2\eta_* + c_{12}\xi_*\eta_*^2 + c_{03}\eta_*^3 + O_4 \quad (4.4)$$

$$\eta_1 = d_{10}\xi_* + d_{01}\eta_* + d_{30}\xi_*^3 + d_{21}\xi_*^2\eta_* + d_{12}\xi_*\eta_*^2 + d_{03}\eta_*^3 + O_4$$

Коэффициенты  $c_{ij}$ ,  $d_{ij}$  вычисляются по следующим формулам:

$$c_{10} = 1 - 4v, \quad c_{01} = \frac{2}{\mu(1-\mu^2)}\sqrt{\frac{2v}{1-\mu^2}} \quad (4.5)$$

$$d_{10} = -2\mu(1-\mu^2)(1-2v)\sqrt{2v(1-\mu^2)}, \quad d_{01} = 1 - 4v$$



$$\begin{aligned}
c_{30} &= -\frac{2}{3}(16v^3 - 24v^2 + 5v - 3), & c_{21} &= \frac{32v^3 - 40v^2 + 2v - 1}{\mu(1-\mu^2)\sqrt{2v(1-\mu^2)}} \\
c_{12} &= -\frac{2(8v^2 - 8v - 1)}{\mu^2(1-\mu^2)^3}, & c_{03} &= \frac{16v^2 - 12v - 3}{3\mu^3(1-\mu^2)^4\sqrt{2v(1-\mu^2)}} \\
d_{30} &= -\frac{1}{3}\mu(1-\mu^2)(96v^3 - 44v^2 + 22v - 3)\sqrt{\frac{1-\mu^2}{2v}}, & d_{21} &= 2(24v^2 - 5v + 1) \\
d_{12} &= -\frac{48v^2 + 2v - 1}{\mu(1-\mu^2)\sqrt{2v(1-\mu^2)}}, & d_{03} &= \frac{2(4v+1)}{\mu^2(1-\mu^2)^3}.
\end{aligned} \tag{4.6}$$

**5. Отображение  $\xi, \eta \rightarrow \xi_1, \eta_1$ .** Для получения результирующего отображения  $\xi, \eta \rightarrow \xi_1, \eta_1$  надо в формулы (4.4) вместо величин  $\xi_*$ ,  $\eta_*$  подставить их выражения (3.18) через  $\xi, \eta$  и привести подобные члены. В результате получим искомое отображение в следующем виде:

$$\xi_1 = a\xi + b\eta + k_{30}\xi^3 + k_{21}\xi^2\eta + k_{12}\xi\eta^2 + k_{03}\eta^3 + O_4 \tag{5.1}$$

$$\eta_1 = c\xi + d\eta + l_{30}\xi^3 + l_{21}\xi^2\eta + l_{12}\xi\eta^2 + l_{03}\eta^3 + O_4$$

Коэффициенты  $a, b, c, d, k_{ij}, l_{ij}$  являются функциями параметров  $\mu, v$  и очевидным образом выражаются через коэффициенты отображений (3.18) и (4.4). В частности, для коэффициентов линеаризованного отображения (5.1) имеем такие выражения:

$$a = c_{10}m_{10} + c_{01}n_{10}, \quad b = c_{10}m_{01} + c_{01}n_{01} \tag{5.2}$$

$$c = d_{10}m_{10} + d_{01}n_{10}, \quad d = d_{10}m_{01} + d_{01}n_{01}$$

После получения отображения (5.1) надо исследовать устойчивость его неподвижной точки. Условия устойчивости и неустойчивости приведены в статье [5]. Они выражаются через коэффициенты  $a, b, c, d, k_{ij}, l_{ij}$ .

**6. Исследование устойчивости неподвижной точки  $\xi = \eta = 0$  линеаризованного отображения (5.1).** Рассмотрим сначала линеаризованное отображение

$$\xi_1 = a\xi + b\eta, \quad \eta_1 = c\xi + d\eta \tag{6.1}$$

Для получения матрицы коэффициентов этого отображения при заданных значениях параметров  $\mu$  и  $v$  надо проинтегрировать систему четырех дифференциальных уравнений (3.7) с начальными условиями  $q_{10}(0) = r_{01}(0) = 1, q_{01}(0) = r_{10}(0) = 0$  от  $\tau = 0$  до  $\tau = s$ , где  $s$  задается формулой (3.13). Коэффициенты  $a, b, c, d$  вычисляются затем по формулам (3.19), (4.5), (5.2).

Введем обозначение  $A = \frac{1}{2}(a+d)$ . Если  $|A| < 1$ , то неподвижная точка  $\xi = \eta = 0$  линейного отображения (6.1) устойчива. Если же  $|A| > 1$ , то имеет место неустойчивость, причем не только для линейного отображения, но и для полного нелинейного отображения (5.1). Значениям  $|A| = 1$  отвечает граница областей устойчивости.

Целью исследования отображения (6.1) является получение разбиения множества допустимых значений параметров  $\mu$  и  $v$ , представляющего собой единичный квадрат  $\{0 \leq \mu < 1, 0 \leq v < 1\}$ , на области, в которых  $|A| < 1$  и, следовательно, отображение (5.1) устойчиво в линейном приближении, и области  $|A| > 1$ , где оно неустойчиво.

*6.1. Случай малых  $\mu$ .* Малые значения параметра  $\mu$  отвечают случаю, когда вес точки  $P$  мал по сравнению с величиной  $kl_0$ . В пределе при  $\mu \rightarrow 0$  приходим к исследованной в статье [1] задаче об устойчивости вертикального периодического движения материальной точки  $P$ , подвешенной на нерастяжимой нити.

Найдем выражение для величины  $A$  при  $0 \leq \mu \ll 1$ . При малых  $\mu$  решение системы уравнений (3.7) с начальными условиями  $q_{10}(0) = r_{01}(0) = 1$ ,  $q_{01}(0) = r_{10}(0) = 0$  будет таким:

$$q_{10}(\tau) = 1 + O(\mu^2), \quad r_{10}(\tau) = -\mu^2\tau + O(\mu^3) \quad (6.2)$$

$$q_{01}(\tau) = \tau + \mu 2\sqrt{2v}(\cos \tau - 1) + O(\mu^2), \quad r_{01}(\tau) = 1 + O(\mu^2)$$

Но для величины  $s$  из (3.13) справедливо равенство:

$$s = \pi + \mu 2(2v)^{-1/2} + O(\mu^3)$$

поэтому входящие в выражения (5.2) величины  $m_{ij} = q_{ij}(s)$ ,  $n_{ij} = r_{ij}(s)$  допускают, в соответствии с (6.2), такие оценки:

$$m_{10} = 1 + O(\mu^2), \quad n_{10} = -\mu^2\pi + O(\mu^3), \quad m_{01} = \pi + O(\mu), \quad n_{01} = 1 + O(\mu^2) \quad (6.3)$$

Далее из (4.4) следует, что

$$c_{10} = d_{01} = 1 - 4v, \quad c_{01} = \mu^{-1} 2\sqrt{2v} + O(\mu), \quad d_{10} = -\mu 2\sqrt{2v} + O(\mu^2) \quad (6.4)$$

Теперь из (6.3), (6.4) и (5.2) можно получить оценки для коэффициентов  $a$  и  $d$ :

$$a = 1 - 4v - \mu 2\pi\sqrt{2v} + O(\mu^2), \quad d = 1 - 4v - \mu 2\pi(1 - 2v)\sqrt{2v} + O(\mu^2)$$

Следовательно, при  $0 \leq \mu \ll 1$  имеем такое выражение для величины  $A$ :

$$A = 1 - 4v - \mu 2\pi(1 - v)\sqrt{2v} + O(\mu^2) \quad (6.5)$$

Отсюда видно, что в предельном случае при  $\mu = 0$  неподвижная точка отображения устойчива в линейном приближении, если  $0 < v < 1/2$  и неустойчива, если  $v > 1/2$ . Этот вывод согласуется с результатами статьи [1]. При малых  $\mu$  граница области устойчивости задается уравнением

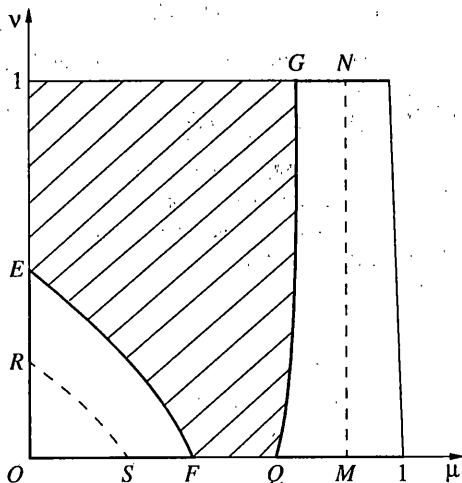
$$v = \frac{1}{2} - \mu \frac{\pi}{4} + O(\mu^2)$$

**6.2. Результаты численного исследования.** Результаты численного исследования устойчивости линейного отображения (6.1) представлены на фиг. 4 в плоскости параметров  $\mu$ ,  $v$ . В незаштрихованных областях  $|A| < 1$  и имеет место устойчивость. В заштрихованной области  $|A| > 1$  и неподвижная точка  $\xi = \eta = 0$  неустойчива. На границах областей устойчивости  $EF$  и  $QG$  величина  $A = -1$ , а матрица отображения (6.1) не приводится к диагональной форме; следовательно, здесь неподвижная точка линейного отображения неустойчива.

Точки  $E$ ,  $F$  и  $Q$ ,  $G$  граничных кривых имеют соответственно координаты  $(0, 0.5)$ ,  $(0.430, 0)$  и  $(0.665, 0)$ ,  $(0.749, 1)$ .

Для точек  $F$  и  $Q$  высота  $h$  подскока материальной точки  $P$  равна нулю. В невозмущенном движении точка колеблется вдоль вертикали как на пружине, причем амплитуда ее колебаний равна  $l - l_0$ . Неподвижная точка  $\xi = \eta = 0$  отображения (6.1), соответствующего этим колебаниям, устойчива, если  $0 < \mu < 0.430$  или  $0.665 < \mu \leq 1$ . Последний вывод находится в соответствии с численными результатами статьи [2].

**7. Результаты исследования устойчивости неподвижной точки  $\xi = \eta = 0$  нелинейного отображения (5.1). Выводы.** Для значений параметров  $\mu$ ,  $v$ , лежащих на фиг. 4 в заштрихованной области, неподвижная точка отображения  $\xi = \eta = 0$  неустойчива не только в линейном приближении, но и для нелинейного отображения (5.1). Границы же  $EF$  и  $QG$  и незаштрихованные области требуют нелинейного анализа. При этом, согласно алгоритму п. 3, для заданных значений  $\mu$ ,  $v$  необходимо сначала проинтегри-



Фиг. 4

рывать систему десяти уравнений (3.7), (3.8) и вычислить величины (3.17). А затем уже при получении коэффициентов отображения (5.1) надо проинтегрировать полную систему восемнадцати уравнений (3.7)–(3.10).

Нелинейный анализ, опирающийся на описанный выше алгоритм и результаты статьи [5], показал, что на границах  $EF$  и  $QG$  неустойчивая в линейной задаче неподвижная точка  $\xi = \eta = 0$  отображения (5.1) в действительности устойчива.

Внутри незаштрихованных областей, согласно [5], надо различать два случая: резонансный, когда  $A = -\frac{1}{2}$  или  $A = 0$  и нерезонансный, когда  $A \neq -\frac{1}{2}, 0$ . Случай  $A = -\frac{1}{2}$  в изучаемой конкретной задаче оказался несущественным, так как в правых частях равенств (5.1) отсутствуют члены второй степени относительно  $\xi, \eta$ . Равенство  $A = 0$  реализуется на кривых  $RS$  и  $MN$ , изображенных на фиг. 4 штриховыми линиями. Точки  $R, S$  и  $M, N$  имеют соответственно координаты  $(0, 0.25), (0.249, 0)$  и  $(0.842, 0), (0.878, 1)$ . Из (6.5) можно получить, что при малых  $\mu$  кривая  $RS$  задается уравнением

$$v = \frac{1}{4} - \mu \frac{3\pi\sqrt{2}}{16} + O(\mu^2)$$

Расчеты показали, что для значений  $\mu, v$ , лежащих внутри незаштрихованных областей, как на кривых  $RS$  и  $MN$ , так и вне их, неподвижная точка  $\xi = \eta = 0$  отображения (5.1) устойчива.

Таким образом, периодическое движение материальной точки  $P$  вдоль вертикали изоэнергетически орбитально устойчиво всюду в незаштрихованных областях фиг. 4, включая их границы. Для остальных значений параметров  $\mu, v$ , множество которых выделено на фиг. 4 штриховкой, имеет место неустойчивость.

Отметим, что при  $0.749 \leq \mu \leq 1$  имеет место устойчивость при любой высоте подскока  $h$  точки  $P$  над ее положением, отвечающим нерастянутой нити, а при  $0.430 < \mu < 0.665$ , наоборот, при любой высоте подскока имеет место неустойчивость. Если же  $0 \leq \mu \leq 0.430$  или  $0.665 \leq \mu \leq 0.749$ , то вертикальное периодическое движение точки  $P$  орбитально неустойчиво, когда высота подскока превосходит некоторое критическое значение  $h_* = l_0 v_*(\mu)$ , соответствующее граничным кривым  $EF$  и  $QG$  на фиг. 4; при  $0 \leq h \leq h_*$  имеет место орбитальная устойчивость.

Работа выполнена при финансовой поддержке Российского фонда фундаментальных исследований (проект 99-01-00405).

## СПИСОК ЛИТЕРАТУРЫ

1. *Маркеев А.П.* О колебаниях материальной точки, подвешенной на идеальной нити // ПММ. 1996. Т. 60. Вып. 2. С. 240–249.
2. *Маркеев А.П., Чеховская Т.Н.* О колебаниях упругого маятника // Изв. РАН. МТТ. 1998. № 2. С. 18–26.
3. *Маркеев А.П.* Теоретическая механика. М.: Наука, 1990. 414 с.
4. *Пуанкаре А.* Избр. тр. Т. 2. Новые методы небесной механики. М.: Наука, 1972. 999 с.
5. *Маркеев А.П.* О сохраняющих площадь отображениях и их применении в динамике систем с соударениями // Изв. РАН. МТТ. 1996. № 2. С. 37–54.

Москва

Поступила в редакцию  
29.06.1999